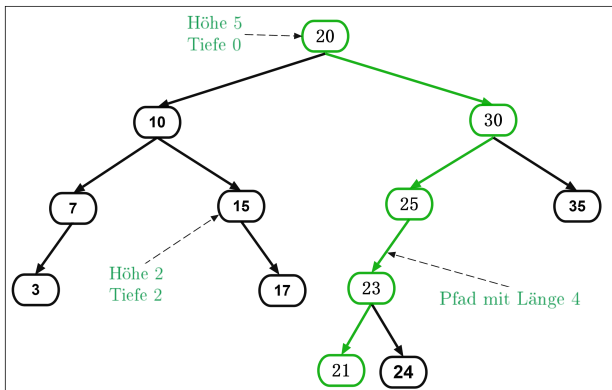




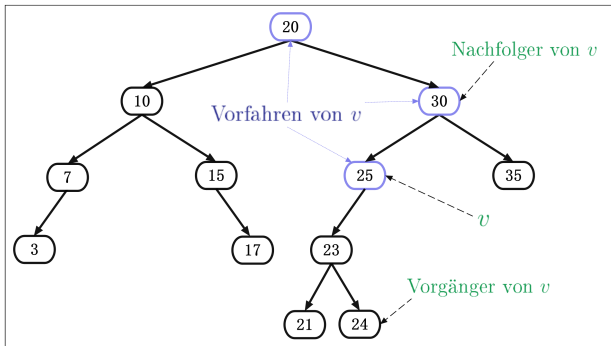




## Binärer Suchbaum



# Binärer Suchbaum





## Übersicht

## Binärer Suchbaum

## Dynamische Optimalität

## Tango Baum







## $access(k)$ Operation

## Einschränkungen

Ein Zeiger  $p$  (berührter Knoten) in die Struktur:

- Setze  $p$  auf ein Kind von  $p$
- Setze  $p$  auf den Elternknoten von  $p$
- Rotationen

## Berechnung der Kosten

Einheitskosten von „1“.

## Zugriffsfolgen

## Zugriffsfolgen

- $X = x_1, x_2, \dots, x_m$ , mit  $\forall i \in \{1, 2, \dots, m\} : x_i \in K$
- $\text{access}(x_1), \text{access}(x_2), \dots, \text{access}(x_m)$

## Zugriffsfolgen

## Zugriffsfolgen

- $X = x_1, x_2, \dots, x_m$ , mit  $\forall i \in \{1, 2, \dots, m\} : x_i \in K$
- $\text{access}(x_1), \text{access}(x_2), \dots, \text{access}(x_m)$

## dynamische BST

- Anpassung der Struktur

## Kostenrechnung

Anzahl der Einzelschritte  $+ m$



dynamisch Optimal

 $OPT(X)$ 

Niedrigste Kosten zum Ausführen von  $X$

dynamisch Optimal

BST mit Kosten von  $O(OPT(X))$ , für beliebige  $X$

c-competitive

BST mit Kosten von  $O(c \cdot OPT(X))$ , für beliebige  $X$

# Tango Baum

## Eigenschaften

- Aus BSTs bestehender BST
- $\log(\log(n))$ -competitive

## Literatur

Erik D. Demaine, Dion. Harmon, John. Iacono, and Mihai. Patrascu. Dynamic optimality-almost. *SIAM Journal on Computing*, 37(1):240–251, 2007.





## Lower Bound Tree

### Definition

Zu  $X = x_1, x_2, \dots, x_m$  und  $K = \{k \in \mathbb{N} \mid k \text{ ist in } X \text{ enthalten}\}$

# Lower Bound Tree

## Definition

Zu  $X = x_1, x_2, \dots, x_m$  und  $K = \{k \in \mathbb{N} \mid k \text{ ist in } X \text{ enthalten}\}$  ist der komplette BST  $P$  mit der Schlüsselmenge  $K$  der LBT.

## Beispiel LBT

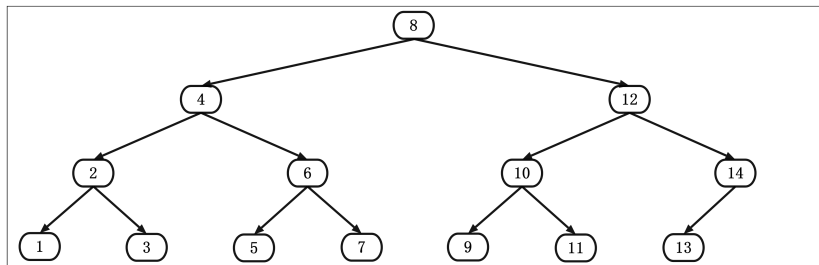


Abbildung: Der Lower Bound Tree zur Zugriffsfolge 1, 2, ..., 14.



## Lower Bound Tree

$$inScore(X, v)$$
Anzahl der Interleaves durch  $v$ 
$$IB(X)$$

$$IB(X) = \sum_{u \in U} inScore(X, u)$$

## Transition Points

$T_0$  Startzustand,  $T_i$  nach ausführen von *access*  $x_i$ .







## Transition Points

Sei  $U$  die Menge der Knoten in  $P$  mit einer nicht leeren rechten Region.

- Lemma 1: Es gibt zu jedem Knoten  $u \in U$  genau einen transition point in  $T_j$ .
- Lemma 2: Wird ein transition point nicht berührt, so ist er noch immer der transition point des selben Knotens.
- Lemma 3: Ein Knoten kann nicht der transition point mehrerer Knoten sein.

## Beweis Lemma 1

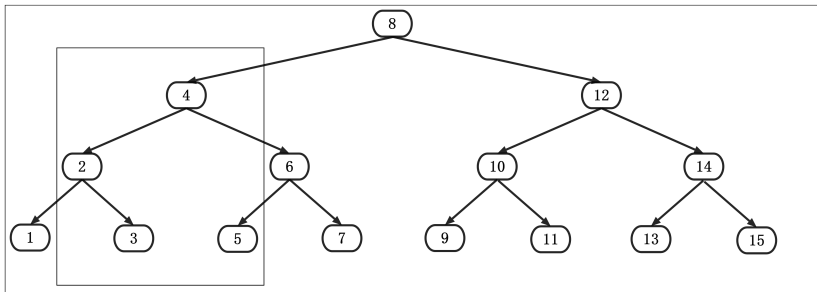
1.  $l$  ist der kleinste Schlüssel der linken Region
2.  $r$  ist der größte Schlüssel der rechten Region

## Beweis Lemma 1

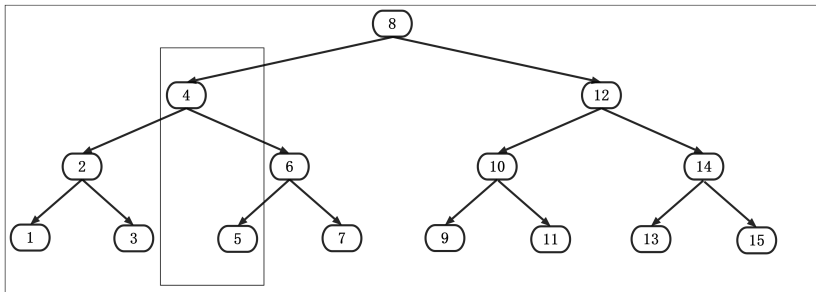
1.  $l$  ist der kleinste Schlüssel der linken Region
2.  $r$  ist der größte Schlüssel der rechten Region
3. der Teilbaum mit der Wurzel  $u$  enthält genau die Schlüssel aus  $K_l^r = \{k \in K \mid k \in [l, r]\}$



## Beweis Lemma 1



## Beweis Lemma 1



## Beweis Lemma 1

1.  $l$  ist der kleinste Schlüssel der linken Region
2.  $r$  ist der größte Schlüssel der rechten Region

## Beweis Lemma 1

1.  $l$  ist der kleinste Schlüssel der linken Region
2.  $r$  ist der größte Schlüssel der rechten Region
3. der Teilbaum mit der Wurzel  $u$  enthält genau die Schlüssel aus  $K_l^r = \{k \in K \mid k \in [l, r]\}$



## Beweis Lemma 1

1.  $l$  ist der kleinste Schlüssel der linken Region
2.  $r$  ist der größte Schlüssel der rechten Region
3. der Teilbaum mit der Wurzel  $u$  enthält genau die Schlüssel aus  $K_l^r = \{k \in K | k \in [l, r]\}$
4.  $v_l$  ist der Vorfahre der Schlüssel der linken Region
5.  $v_r$  ist der Vorfahre der Schlüssel der rechten Region
6.  $w$  ist der gemeinsame Vorfahre dieser Schlüssel
7.  $w = v_l$  bzw.  $w = v_r$
8. Transition point ist  $v_r$  bzw.  $v_l$

## Transition Point Zuordnung

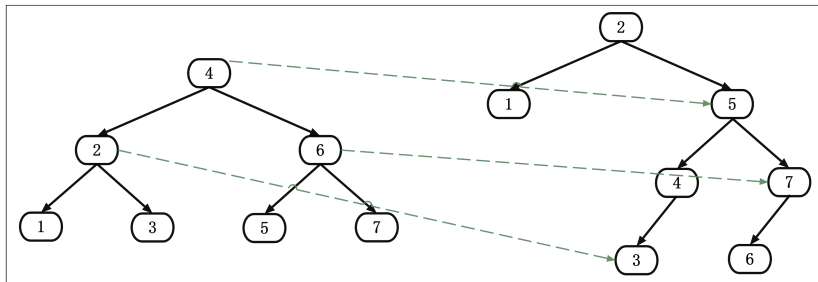


Abbildung: Links ein Lower Bound Tree, rechts ein BST

# Satz Interleave Lower Bound

Sei  $X = x_0, x_1, \dots, x_m$  eine Zugriffsfolge und  $n$  die Anzahl der Knoten im zu  $X$  erstellten Lower Bound Tree  $Y$ . Dann gilt  $OPT(X) \geq IB(X)/2 - n$ .

## Beweis Interleave Lower Bound

1. Zählen der Berührungen von Transition Points
2. Die Anzahl der Berührungen kann für jeden Knoten einzeln bestimmt werden. (Lemma 5.1 und 5.3)

## Beweis Interleave Lower Bound

1. Zählen der Berührungen von Transition Points
2. Die Anzahl der Berührungen kann für jeden Knoten einzeln bestimmt werden. (Lemma 5.1 und 5.3)
3. Betrachteter Knoten  $u$ .  $X_I^{r'} = x_{i_0}, x_{i_1}, \dots, x_{i_p}$  bilden
4.  $\text{inScore}(X, u) = p$

## Beweis Interleave Lower Bound

1. Zählen der Berührungen von Transition Points
2. Die Anzahl der Berührungen kann für jeden Knoten einzeln bestimmt werden. (Lemma 5.1 und 5.3)
3. Betrachteter Knoten  $u$ .  $X_I^{r'} = x_{i_0}, x_{i_1}, \dots, x_{i_p}$  bilden
4.  $\text{inScore}(X, u) = p$
5. Sei  $q \in \mathbb{N}$  mit  $1 \leq q \leq \lfloor p/2 \rfloor$

## Beweis Interleave Lower Bound

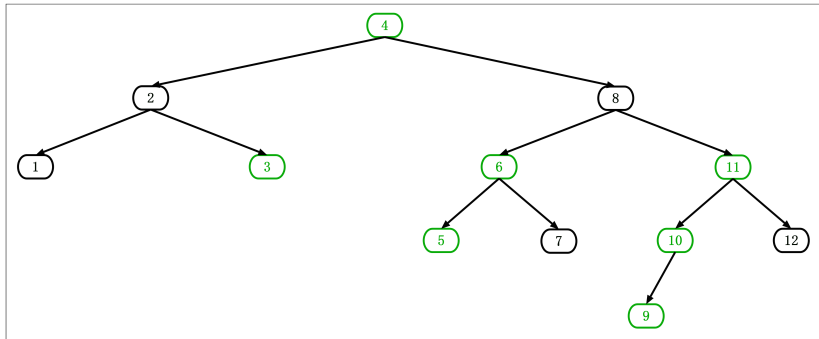
1. Zählen der Berührungen von Transition Points
2. Die Anzahl der Berührungen kann für jeden Knoten einzeln bestimmt werden. (Lemma 5.1 und 5.3)
3. Betrachteter Knoten  $u$ .  $X_I^{r'} = x_{i_0}, x_{i_1}, \dots, x_{i_p}$  bilden
4.  $\text{inScore}(X, u) = p$
5. Sei  $q \in \mathbb{N}$  mit  $1 \leq q \leq \lfloor p/2 \rfloor$
6. Es folgen mindestens  $\lfloor p/2 \rfloor \geq p/2 - 1$  Berührungen des transition points von  $u$

## Beweis Interleave Lower Bound

1. Zählen der Berührungen von Transition Points
2. Die Anzahl der Berührungen kann für jeden Knoten einzeln bestimmt werden. (Lemma 5.1 und 5.3)
3. Betrachteter Knoten  $u$ .  $X_l^{r'} = x_{i_0}, x_{i_1}, \dots, x_{i_p}$  bilden
4.  $inScore(X, u) = p$
5. Sei  $q \in \mathbb{N}$  mit  $1 \leq q \leq \lfloor p/2 \rfloor$
6. Es folgen mindestens  $\lfloor p/2 \rfloor \geq p/2 - 1$  Berührungen des transition points von  $u$
7.  $IB(X)/2 - |U| \geq IB(X)/2 - n$



## Aufbau des Tango Baumes



Erweiterte Knoten:

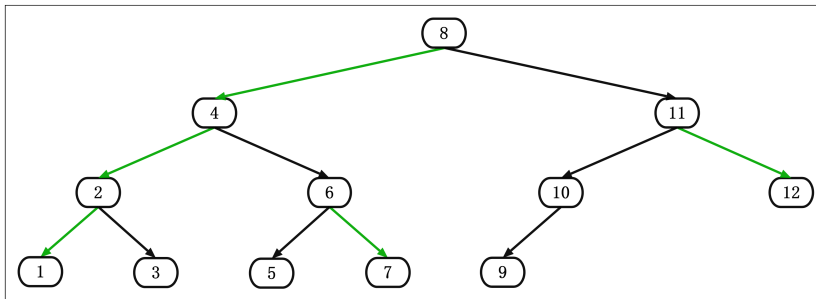
1. *depth*

2. *minDepth*

3. *maxDepth*

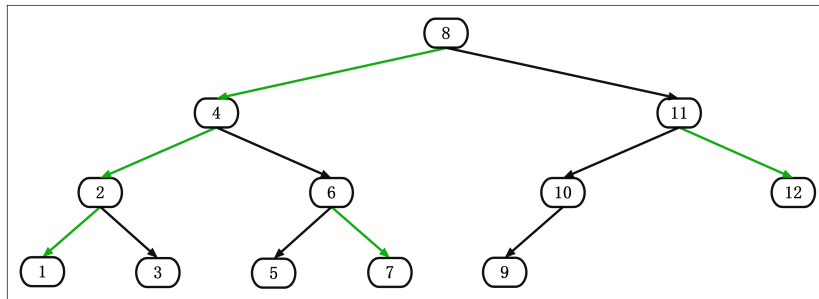
## Aufbau des Tango Baumes

- preferred childs



## Aufbau des Tango Baumes

- preferred child



- preferred paths

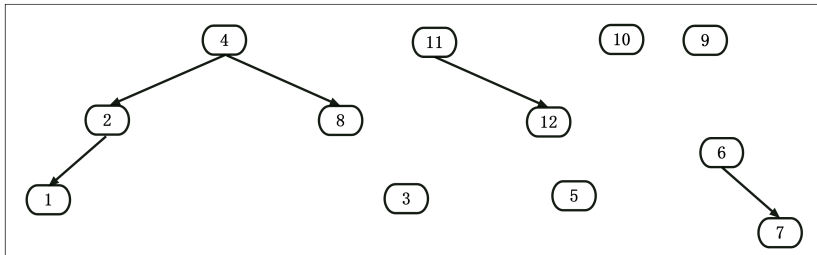
$$P_1 = (8, 4, 2, 1)$$

$$P_2 = (3)$$

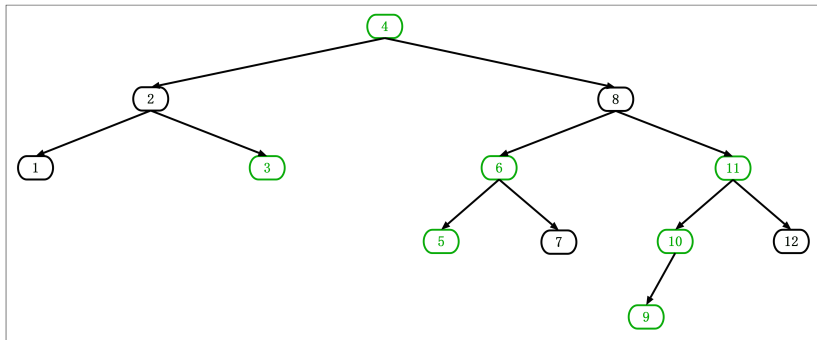
$$P_3 = (6, 7)$$

## Aufbau des Tango Baumes

- Hilfsbäume

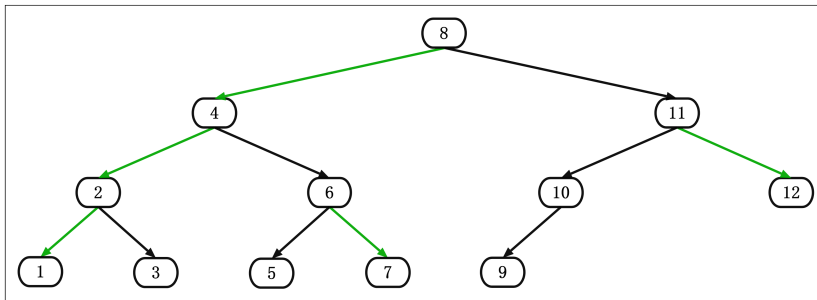


## Aufbau des Tango Baumes



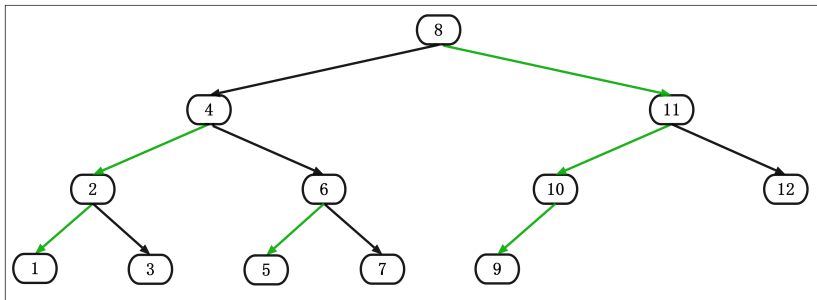
## Aufbau des Tango Baumes

- *access*(9)



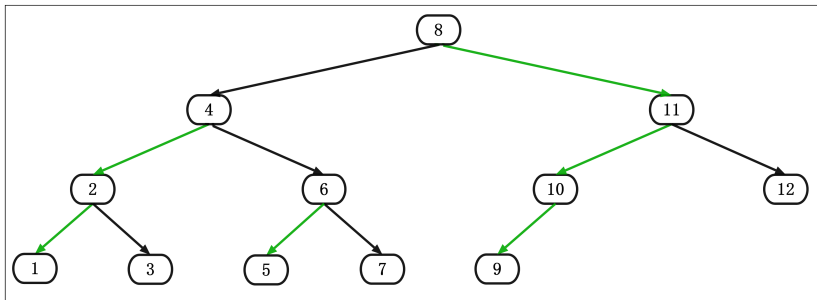
## Aufbau des Tango Baumes

- *access*(9)



## Aufbau des Tango Baumes

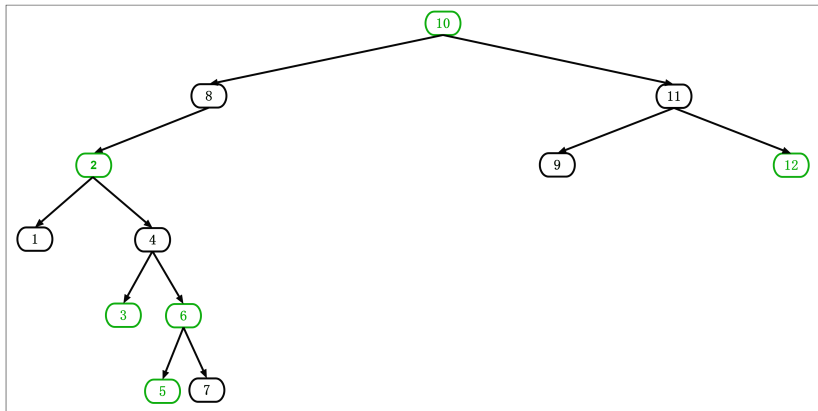
- *access*(9)





## Aufbau des Tango Baumes

- *access*(9)



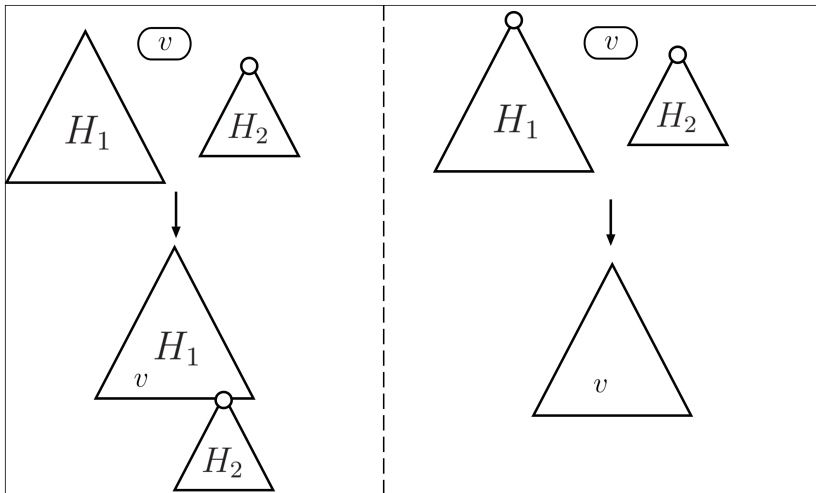
## access Operation

- Suche findet im HB mit der Tango Baum Wurzel satt.

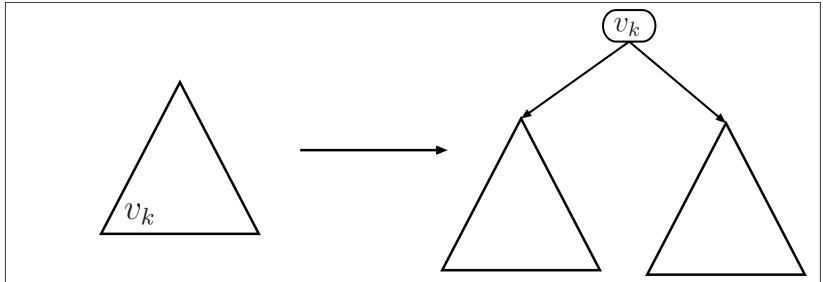
Anforderungen an die DS der Hilfsbäume

1.  $h = O(\log(n))$
2. *concatenate* ( *HB*  $H_1$ , *Knoten*  $v$ , *HB*  $H_2$  )  
Zusammenführen von  $T_1$  und  $T_2$ . Laufzeit  $O(\log(n))$
3. *split* ( *Schlüssel*  $k$  )  
Zerteilen der eigenen Struktur. Laufzeit  $O(\log(n))$

*concatenate (  $HB\ H_1$ , Knoten  $v$ ,  $HB\ H_2$  )*



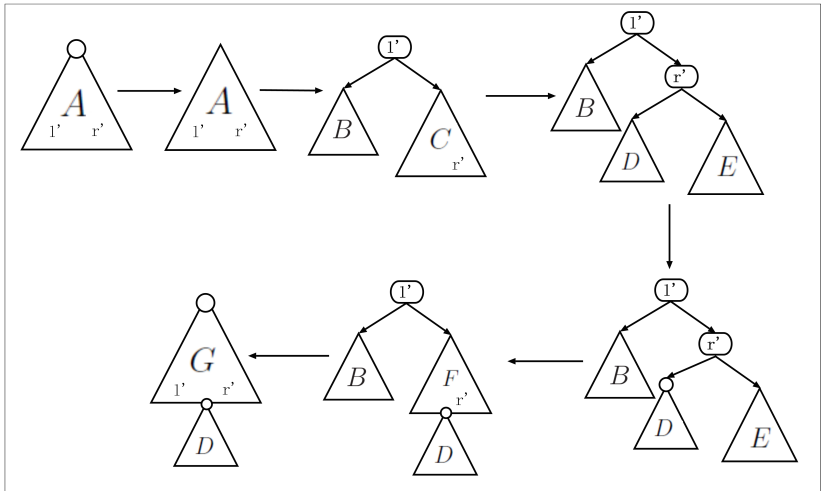
## *split ( Schlüssel $k$ )*



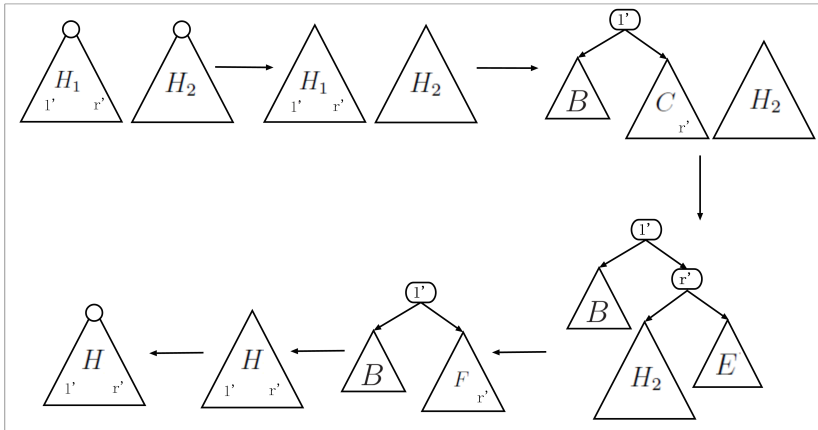
## Hilfsoperationen für *access*

1. *join* ( $HB\ T_1$  ,  $HB\ T_2$ )  
Vereinigen von  $T_1$  und  $T_2$
2. *cut* (*depth*  $d$  )  
Zerteilen der eigenen Struktur beim Knoten mit Tiefe  $d$

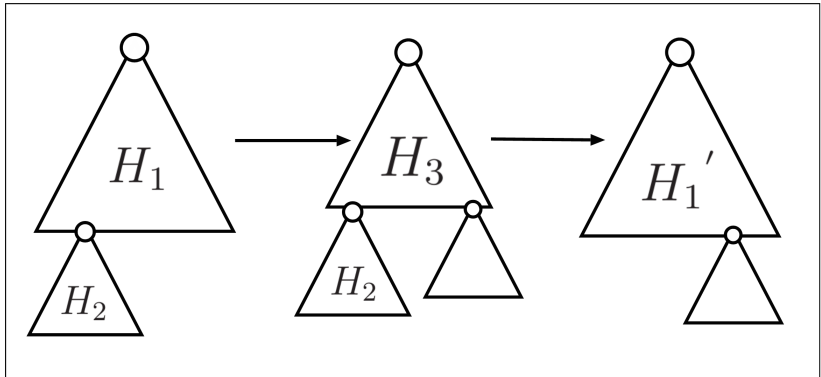
## *cut* Operation



## join Operation



## access Operation





Laufzeit von *access*

1.  $IB(X)$  Interleaves führen zu  $IB(X)$  Wechsel bei preferred children von links nach rechts, oder umgekehrt.
2. maximal  $n$  zusätzliche Wechsel bei preferred children, durch Erstzugriffe in Teilbäume









## Laufzeit von *access*

Einzelne Access Operation:

1.  $\Theta(\log(n))$  Wechsel bei preferred children



Laufzeit von *access*

Einzelne Access Operation:

1.  $\Theta(\log(n))$  Wechsel bei preferred children
2.  $O(\log(n)(\log(\log(n)) + 1))$
3. Balancierte BSTs erreichen  $O(\log(n))$